

# Zn、Zn-Cd 在 $In_xGa_{1-x}As$ 中扩散的研究\*

张桂成 杨 易  
(中国科学院上海冶金研究所)

## 提 要

本文利用  $ZnAs_2$ ,  $ZnAs_2 + Cd$  作扩散源, 研究了  $Zn$ ,  $Zn-Cd$  在  $In_xGa_{1-x}As$  中的扩散。给出了扩散温度和扩散时间, 扩散源的种类和材料的组份对  $x_i - \sqrt{t}$  关系的影响。 $Zn$  在  $In_xGa_{1-x}As$  中的扩散速度 ( $x_i^2/t$ ) 较  $Zn-Cd$  在  $In_xGa_{1-x}As$  中的快。在  $500^\circ$ — $600^\circ C$ ,  $Zn$  在  $In_xGa_{1-x}As$  的表面浓度为  $1 \times 10^{19}$ — $2 \times 10^{20} cm^{-3}$ 。 $Zn$  在  $In_xGa_{1-x}As$  中的表面浓度较在  $InP$  中的高。利用  $In_xGa_{1-x}As$  作  $1.3\mu m$  发光管的接触层可使接触电阻降低。

## 一、引 言

$In_xGa_{1-x}As$  材料的禁带宽度随着组份的变化而相应地改变, 它适合于作  $0.85$ — $3.44\mu m$  光电器件的材料。含  $In 53\%$  的  $n-InGaAs$  属直接带隙的半导体材料,

$$E_g = 0.75 eV,$$

用它可制作高性能的生长结二极管和 APD<sup>[1]</sup>, 在  $1.3\mu m$  和  $1.55\mu m$  低损耗, 低色散光纤通信系统中可作探测器件。 $p-In_{0.53}Ga_{0.47}As$  也可作  $InGaAsP/InP$  双异质结构材料的接触层, 对降低串联电阻有明显作用<sup>[2]</sup>。

$Zn$  在  $In_xGa_{1-x}As$  中扩散是制作光电二极管<sup>[3]</sup>, 雪崩管和 FET 器件的重要工艺, 本文分别用  $ZnAs_2$ ,  $ZnAs_2 + Cd$  作扩散源, 研究了  $x_i - \sqrt{t}$  关系和影响它的因素。

## 二、实验方法

采用在  $n-InP$  衬底上液相外延生长的  $n-In_xGa_{1-x}As$  外延片作扩散样品, 外延层参数为  $x = 0.53$ , 电子浓度分别为  $1.4 \times 10^{14}$ ,  $5-7 \times 10^{15}$  和  $1-2 \times 10^{16} cm^{-3}$ , 外延层厚度在  $2-13\mu m$  范围内。分别用  $ZnAs_2$ ,  $ZnAs_2 + Cd(2:1)$  作杂质扩散源, 将样品和扩散源分别置于能抽真空的石英管中, 在  $3-5 \times 10^{-5} mmHg$  真空度下封管, 将封闭的石英管放在扩散炉的恒温区中进行扩散, 扩散完成后迅速冷却源的尾端。扩散样品解理后用铁氰化钾溶液腐蚀显结, 在显微镜下观察结深。用范德堡法和电化学 C-V 法测量浓度。

\* 1985年2月26日收到。1985年7月30日修改定稿。

### 三、实验结果

#### 1. $x_i - \sqrt{t}$ 关系

图 1 是用  $ZnAs_2$  作扩散源时, 分别在  $500^\circ$ ,  $550^\circ$ ,  $600^\circ$  和  $640^\circ C$  进行扩散时的结深 ( $x_i$ ) 与扩散时间方根 ( $\sqrt{t}$ ) 的关系。从图 1 可见, 在同一扩散温度下,  $x_i - \sqrt{t}$  有较好的线性关系, 表明  $Zn$  向  $In_xGa_{1-x}As$  中扩散时服从费克定律。在同一扩散时间内,  $x_i$  随扩散温度 ( $T$ ) 的增高而增大。

图 2 是扩散  $p-n$  结前沿的扫描电镜照片, 从图可见,  $p-n$  结前沿光洁平坦。

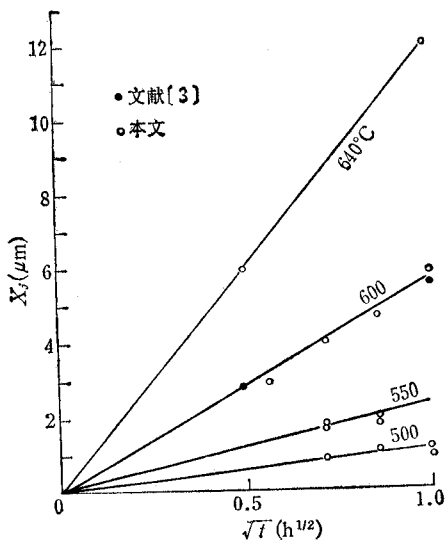


图 1  $Zn$  向  $InGaAs$  中扩散时的  $x_i - \sqrt{t}$  关系

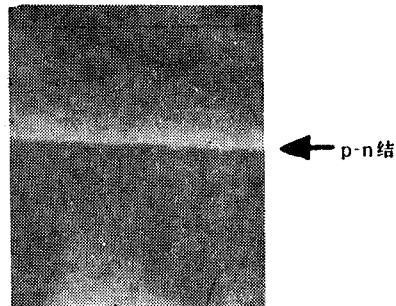


图 2 扩散  $p-n$  结前沿 (\$\times 10000\$)

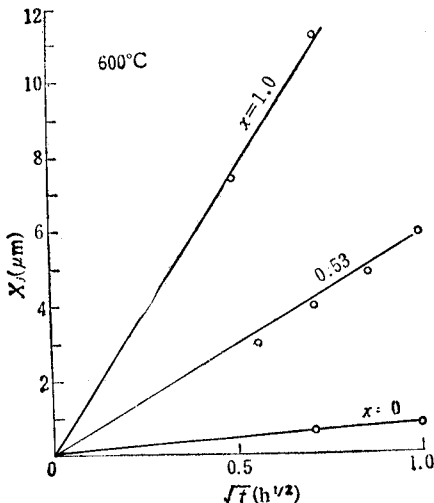


图 3  $x$  值对  $x_i - \sqrt{t}$  关系的影响

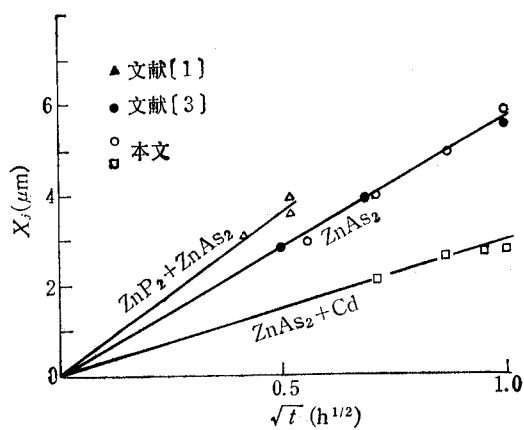


图 4 扩散源种类对  $x_i - \sqrt{t}$  的影响

## 2. $\text{In}_x\text{Ga}_{1-x}\text{As}$ 组份对 $x_i$ 的影响

在 600°C 下, 对  $x$  值不同的三种样品进行扩散时的  $x_i - \sqrt{t}$  关系, 如图 3 所示。从图 3 可见, 在相同的扩散条件下,  $x_i$  随  $x$  值的增大而增大。

## 3. 扩散源种类对 $x_i - \sqrt{t}$ 关系的影响

图 4 是在 600°C 下, 采用  $\text{ZnAs}_2$  和  $\text{ZnAs}_2 + \text{Cd}(2:1)$  两种扩散杂质源进行扩散时的  $x_i - \sqrt{t}$  关系。从图 4 可见, 在相同的扩散条件下  $\text{ZnAs}_2$  与  $\text{ZnAs}_2 + \text{Cd}$  混合源相比,  $x_i$  明显不同,  $\text{ZnAs}_2$  源较  $\text{ZnAs}_2 + \text{Cd}$  混合源的  $x_i$  大, 其扩散速度 ( $x_i^2/t$ ) 相差 3.6 倍。而用  $\text{ZnAs}_2 + \text{ZnP}_2^{[1]}(1:1)$  扩散源又较用  $\text{ZnAs}_2$  源时扩散速度快。

## 4. 扩散层浓度及其分布

将扩散温度的倒数 ( $1/T$ ) 对受主浓度 ( $p$ ) 作图, 如图 5 所示。在 500°—600°C 的扩散温度内, 表面受主浓度为  $10^{19}$ — $3 \times 10^{20} \text{ cm}^{-3}$ 。图 6 是用化学 C-V 法测量扩散层浓度的剖面分布图。

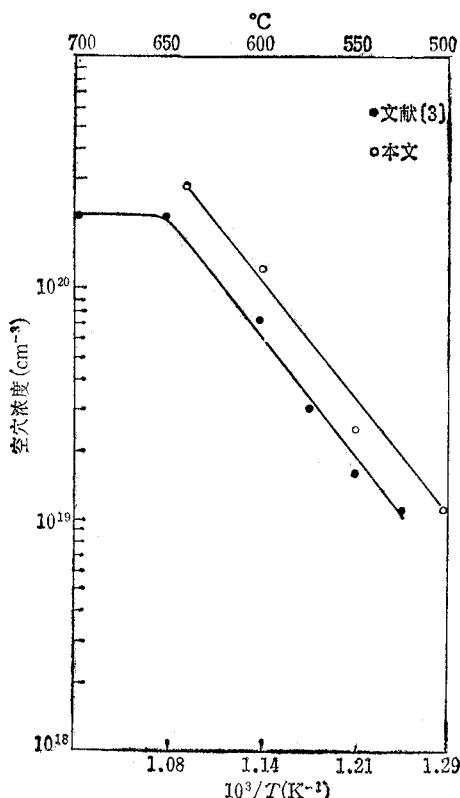


图 5  $\text{In}_x\text{Ga}_{1-x}\text{As}(x = 0.53)$  的表面受主浓度对  $1/T$  的关系

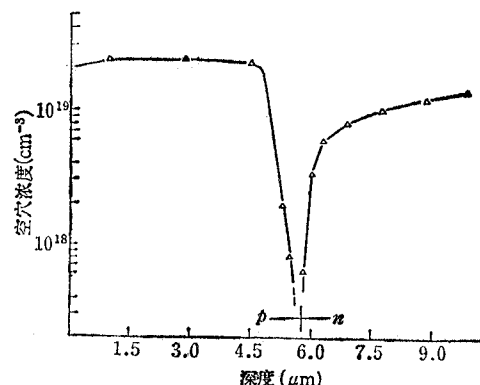


图 6 载流子浓度剖面

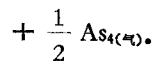
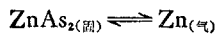
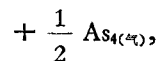
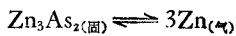
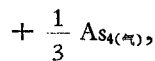
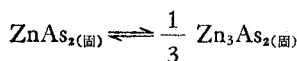
## 四、讨 论

(1) 从图 3 可见, 对  $\text{In}_x\text{Ga}_{1-x}\text{As}$  材料而言, Zn 扩散层深度  $x_i$  不仅受扩散温度、扩散时间和扩散源种类的影响(图 4), 而且受  $\text{In}_x\text{Ga}_{1-x}\text{As}$  材料组份  $x$  值的影响, 并且相当

明显。这与 Zn 在  $Ga_{1-x}Al_xAs$  中扩散时的规律类似<sup>[4,5]</sup>,  $x_i$  均随  $x$  值的增大而增大。按有效扩散系数  $D_{eff} = d^2/4t$  关系<sup>[6]</sup> 计算在  $x$  值分别为 0, 0.53 和 1 的三种材料中,  $D_{eff}$  的比值分别为 876:144:1。表明  $x$  值对  $D_{eff}$  的影响很明显。

(2) 从图 4 可见, 在相同扩散条件下采用  $ZnAs_2$  扩散源较  $ZnAs_4 + Cd$  混合扩散源的扩散速度大 3.6 倍。这可能是由于 Zn 向  $In_xGa_{1-x}As$  中扩散时与  $Zn-Cd$  同时向  $In_xGa_{1-x}As$  中扩散时有不同的激活能  $\Delta E$ <sup>[6]</sup>。按  $x_i \propto \Delta E/kT$ <sup>[7]</sup> 关系, 在  $ZnAs_2$  源中加  $Cd$  时使  $\Delta E$  降低, 导致  $(x_i)_{Zn-Cd} < (x_i)_{Zn}$ 。

在扩散条件下  $ZnAs_2$  源发生分解反应:



$(As_4)_{\text{气}}$  的存在可防止  $In_xGa_{1-x}As$  化合物的分解, 保证了扩散后样品表面光洁。由于  $Cd$  的熔点和沸点较低, 在扩散条件下以  $Cd_{\text{气}}$  形式与  $Zn_{\text{气}}$  形式同时向  $In_xGa_{1-x}As$  中扩散, 其扩散机构与  $Zn_{\text{气}}$  向  $InGaAs$  中扩散时的  $Zn^{2+}-Zn_s^{-}$ <sup>[3]</sup> (间隙-替位)模型是否相同, 有待研究。

(3) 从图 5、图 6 可见, 在 500°—600°C 范围内, 扩散样品的表面受主浓度为  $1 \times 10^{19}$ — $2 \times 10^{20} cm^{-3}$ , 扩散层电阻率低到  $10^{-2}$ — $10^{-3} \Omega \cdot cm$ , 从而使  $In_xGa_{1-x}As$  器件的  $p$  面电极有较低的接触电阻。在相同的扩散条件下,  $In_xGa_{1-x}As$  材料的表面受主浓度 ( $p$ ) 较  $InP$  或  $InGaAsP$  材料的表面受主浓度高<sup>[8]</sup>, 如图 7 所示, 这对  $InGaAsP/InP$  光电器件  $p$  面电极比接触电阻的降低和串联电阻  $R_s$  的降低是有利的。由于液相外延生长的  $InP/In_xGa_{1-x}As$  材料的  $\Delta a/a < 3 \times 10^{-4}$ <sup>[2]</sup>, 也为采用  $In_{0.53}Ga_{0.47}As$  材料作  $InGaAsP/InP$  双异质结发光管的接触层提供了应用前景。为了改善器件的近场特性, 采用  $n-In_xGa_{1-x}As$  作接触层, 经选择 Zn 扩散工艺制造反向隔离型器件, 为近场特性的改善和耦合效率的提

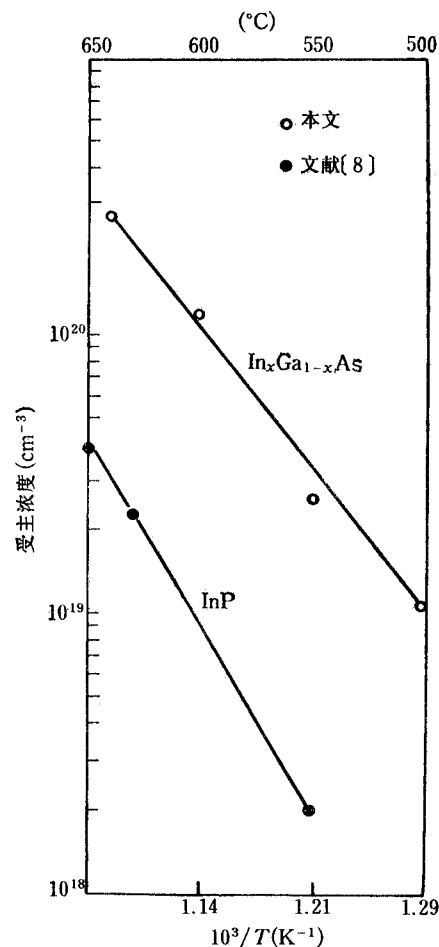


图 7  $InGaAs$  和  $InP$  的表面受主浓度对扩散温度的关系

高提供了条件。因此该材料不仅能作光电探测器件而且也适宜作 InGaAsP/InP 光电器件的接触材料。

## 五、结 束 语

(1) 用 ZnAs<sub>2</sub>、ZnAs<sub>2</sub>+Cd 作扩散源分别在 500℃, 550℃, 600℃ 和 640℃ 扩散温度下, 研究了扩散结深  $x_i$  与扩散时间  $\sqrt{t}$  的关系。结果表明扩散温度, 扩散时间, 扩散源种类和材料组份  $x$  值等因素, 皆对  $x_i-\sqrt{t}$  关系有重要的影响。

(2) 在 500°—600℃ 扩散条件下, 扩散层的表面受主浓度在  $1 \times 10^{19}$ — $2 \times 10^{20} \text{ cm}^{-3}$  范围。此值较相同扩散条件下 Zn 向 InP 中扩散时的表面受主浓度高, 用 In<sub>0.53</sub>Ga<sub>0.47</sub>As 材料作 InGaAsP/InP 双异质结器件的接触层, 有利于器件串联电阻的降低。

李允平, 蒋惠英, 胡雨生参加部份工作, 徐国华, 吴鼎芬提供部份外延片, 作者一并致谢。

## 参 考 文 献

- [1] Yuichi Matsushima, et al., *Appl. Phys.*, 35(1979), 466.
- [2] 邬祥生等, 发光与显示, 1(1983), 1.
- [3] Yoshihisa, Yamamoto, et al., *Jpn. J. Appl. Phys.*, 19(1980), 121.
- [4] Y-R Yuan, et al., *J. Appl. Phys.*, 54(1983), 6044.
- [5] T. Kagawa, *Jpn. J. Appl. Phys.*, 20(1981), 597.
- [6] Y. Horikoshi, et al., *ibid.*, 20(1981), 437.
- [7] Y. Motsumoto, *ibid.*, 22(1983), 1699.
- [8] 张桂成等, 电子科学学刊, 5(1983), 221.

## STUDY OF Zn, Zn-Cd DIFFUSION IN In<sub>x</sub>Ga<sub>1-x</sub>As

Zhang Guicheng, Yang Yi

(Shanghai Institute of Metallurgy, Academia Sinica)

The diffusion of Zn, Zn-Cd in In<sub>x</sub>Ga<sub>1-x</sub>As is investigated using ZnAs<sub>2</sub> and ZnAs<sub>2</sub>+Cd as the diffusion source. The effect of the diffusion temperature, diffusion time, variety of the diffusion source and composition of the material on the relation of the  $x_i-\sqrt{t}$  is given. The diffusion velocity ( $x_i^2/t$ ) of the Zn in In<sub>x</sub>Ga<sub>1-x</sub>As is faster than that of the Zn-Cd in In<sub>x</sub>Ga<sub>1-x</sub>As. The surface hole concentration of Zn in In<sub>x</sub>Ga<sub>1-x</sub>As is  $1 \times 10^{19}$ — $2 \times 10^{20} \text{ cm}^{-3}$  at 500—600°C. At the same diffusion condition, the surface concentration of Zn in In<sub>x</sub>Ga<sub>1-x</sub>As is higher than that of Zn in InP. Reducing of contact resistance by use of In<sub>x</sub>Ga<sub>1-x</sub>As contact layer for 1.3 μm LED can be expected.